

# 几种坡度的台阶式溢洪道消能特性试验研究\*

田嘉宁<sup>1</sup>, 李建中<sup>1</sup>, 大津岩夫<sup>2</sup>, 叶林<sup>1</sup>, 安田阳一<sup>2</sup>

(<sup>1</sup> 西安理工大学 水利水电学院, 陕西 西安 710048, <sup>2</sup> 日本大学 理工学部, 日本 东京 101-8308)

[摘要] 对3种斜坡( $5.7^{\circ}$ 、 $19^{\circ}$ 和 $30^{\circ}$ )的台阶式溢洪道进行了模型试验研究。结果表明, 当堰上相对临界水深 $y_c/h = 2.5$ 时, 滑行水流、过渡水流和跌落水流消能率的大小不受堰上相对临界水深的限制, 而只是相对坝高 $H_{dam}/y_c$ 和斜坡角度的函数, 即随坡度变缓或相对坝高 $H_{dam}/y_c$ 增加, 消能率增大; 当坝坡相同坝高相等时, 滑行水流、过渡水流和跌落水流之间的消能率差异很小, 并且其消能率大小与台阶个数无关; 此外, 文中还给出了计算消能率的经验公式。

[关键词] 台阶式溢洪道; 消能特性; 滑行水流; 过渡水流; 跌落水流

[中图分类号] TV 653; TV 135.2

[文献标识码] A

[文章编号] 1671-9387(2004)10-0119-04

台阶式结构作为河流防沙和降低渠道落差等的特殊水工建筑物, 其应用已有3000多年的历史<sup>[1]</sup>。近20多年来, 随着水利工程施工中RCC新技术的普及, 台阶式结构作为中小型水库工程中一种新型的泄水消能形式, 得到了广泛的应用<sup>[2]</sup>。另外, 工程实践中台阶式结构还常与其他结构形式共同使用, 构成一种联合消能形式, 大大地提高了消能设施的消能效率。关于台阶式溢洪道滑行水流和跌落水流的消能问题, Chamani<sup>[3]</sup>曾指出, 跌落水流的消能率大于滑行水流的消能率; Matos<sup>[4]</sup>进一步指出, 当坡度相同时, 随相对坝高增加, 两者的消能率逐渐趋于一致; 而 Rao<sup>[5]</sup>和 Chanson<sup>[6]</sup>指出, 对于较短的溢洪道, 跌落水流的消能率要比滑行水流大, 但当溢洪道较长时, 滑行水流的消能率却大于跌落水流时的情况; Yasuda<sup>[7]</sup>的试验结果证明, 在滑行水流条件下, 随坡度增大, 消能率下降。总之, 关于台阶式溢洪道的消能特性存在着各种不同的说法, 因此, 有必要进一步对其进行深入研究。本研究即通过模型试验, 测定滑行水流、跌落水流和过渡水流的消能率, 以及台阶个数对消能率的影响, 并对其结果进行比较, 以寻求其消能规律及各流况之间的相互关系, 为工程设计提供参考。

## 1 试验设计

### 1.1 试验条件

试验水槽宽 $B = 0.4\text{ m}$ , 水槽总长 $L = 5\sim 20\text{ m}$ ,

溢洪道高 $H_{dam} = 0.625\sim 2.4\text{ m}$ , 台阶高 $h = 0.05\sim 0.2\text{ m}$ , 相对坝高 $H_{dam}/y_c = 6.18\sim 83.8$ , 堰上相对临界水深 $y_c/h = 0.156$ , 溢洪道斜坡 $\theta$ 分别设计为 $5.7^{\circ}$ 、 $19^{\circ}$ 和 $30^{\circ}$ 。

### 1.2 测定项目与方法

试验中按照Yasuda<sup>[7]</sup>的经验公式对流况进行了分类, 并使水流在消力池内形成临界水跃。鉴于跃前收缩断面的水流特征值量测较困难, 试验中先量测了跃后共轭水深处的水流特征值, 然后利用动量方程, 间接求解出跃前的水流特征值, 并计算了滑行水流、跌落水流和过渡水流的消能率。跃后水深采用测针量测, 测读精度为 $0.1\text{ mm}$ 。压力采用压力计量测。

## 2 台阶式溢洪道消能特征

### 2.1 消能率计算

台阶式溢洪道的结构见图1。在各流况条件下, 调整下游尾水水深, 使其恰好在坝下形成临界水跃。台阶的消能率为:

$$\frac{\Delta H_1}{H_{max}} = 1 - \frac{H_1}{H_{max}} \quad (1)$$

式中,  $\Delta H_1 = H_{max} - H_1$ ;  $H_{max} = y_c + H_{dam} + \alpha v^2/2g$ ;  $H_1 = y_1 + \alpha v_1^2/2g$ 。其中,  $v$  为堰上行进流速,  $g$  为重力加速度;  $v_1$  为跃前断面平均流速,  $\alpha$  为动能修正系数, 其他符号意义见图1。

\* [收稿日期] 2004-04-22

[基金项目] 陕西省自然科学基金项目(2003E218); 陕西省教育厅专项科研基金项目(01JK183)

[作者简介] 田嘉宁(1955- ), 男, 甘肃西峰人, 教授, 主要从事水工水力学研究。

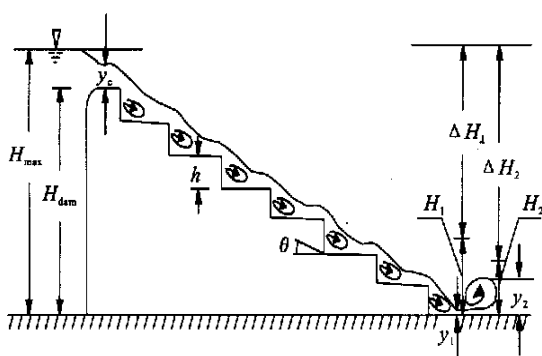


图1 台阶式溢洪道示意图

Fig. 1 Sketch of stepped spillway

考虑到入池水流流线弯曲对 $y_1$ 的影响, 给 $y_1$ 乘以影响系数 $\lambda$ 则断面单位能量可表示为:

$$H_1 = y_1 \lambda + \alpha \frac{1}{2} \frac{y_c^3}{y_1^2} \quad (2)$$

$$\lambda = 1 + \frac{1}{\gamma q y_1} \int_0^{y_1} u \Delta p dy \quad (3)$$

式中,  $\gamma$ 为水的容重;  $u$ 为跃前断面上 $y$ 处的流速, 近似用 $u = U(y/y_1)^{1/8}$ 计算,  $U$ 为 $y = y_1$ 处的流速;  $\Delta p$ 为因流线弯曲引起的水压力增量, 可用 $\Delta p = \gamma[(y_p - y_1)(y_1 - y)]/y_1$ 近似计算,  $y_p$ 为底面压力实测值。

对于给定的坝高和流量, 分别求解公式(1), (2), (3), 就可以计算出各流况时台阶的消能率。

## 2.2 滑行水流的消能率

在 $\theta = 5.7^\circ, 19^\circ$ 和 $30^\circ$ 3种不同坡度时, 滑行水流( $y_c/h = 2.5$ )的消能率与坝高的关系见图2。图2表明, 其消能率随相对坝高的增加而增大, 并且各坡

度之间消能率的差异随坝高的增加有逐渐减小的趋势。图2还表明, 减小斜坡角度, 消能率增加。这是因为在相同落差条件下, 当坡角变缓后, 斜面加长, 同时水平台阶面增大, 流股冲击台阶表面强烈, 并在台阶内形成大尺度的漩涡所致。

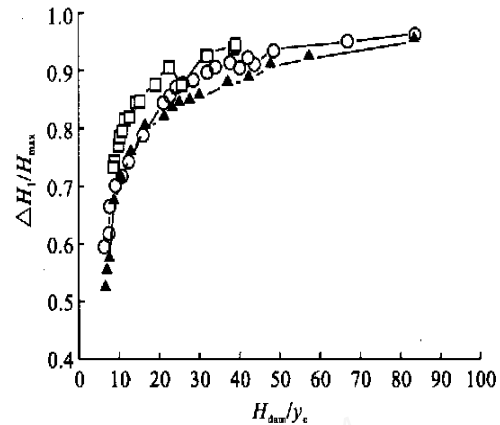


图2 滑行水流的消能率

—□—,  $\theta = 5.7^\circ$ ; —○—,  $\theta = 19^\circ$ ; —▲—,  $\theta = 30^\circ$

## 2.3 过渡水流、跌落水流的消能率

由图3和图4可以看出, 过渡水流和跌落水流的消能率变化与滑行水流具有相同的趋势, 即当相对坝高增大时, 其消能率增大, 且各坡度之间消能率的差异逐渐缩小; 当斜坡由大变小时, 消能率增大。特别在小坡度跌落水流时, 水股全部跌落在台阶表面, 并在台阶面内形成不完整的水跃现象, 台阶内冲击点水面出现最小值, 而在靠近台阶外侧产生水面壅高现象, 水流掺气非常充分。

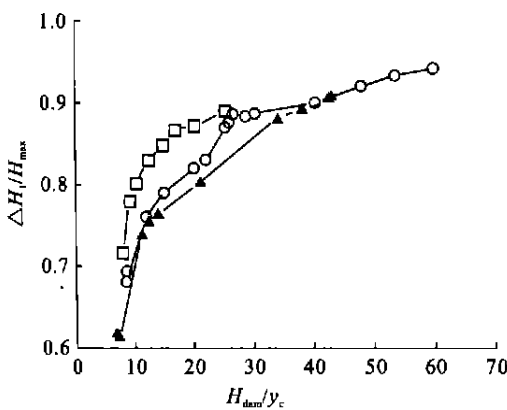


图3 过渡水流的消能率

—□—,  $\theta = 5.7^\circ$ ; —○—,  $\theta = 19^\circ$ ; —▲—,  $\theta = 30^\circ$

Fig. 3 Energy dissipation ratio of transition flow

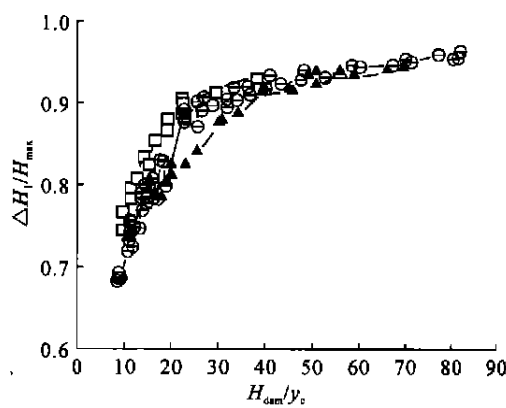


图4 跌落水流的消能率

—□—,  $\theta = 5.7^\circ$ ; —○—,  $\theta = 19^\circ$ ; —▲—,  $\theta = 30^\circ$

Fig. 4 Energy dissipation ratio of nappe flow

能率相差很小。这种情况说明, 如果当 $y_c/h = 2.5$ 时, 虽然滑行水流、过渡水流和跌落水流的流况不同, 消能机理有所差别, 但三者水流的掺气均比较充

分, 台阶的形状阻力、掺气和漩涡联合作用, 消杀了通过台阶水流的大量能量, 从而使台阶式溢洪道获得了较大的消能率。在试验条件范围内, 3 种不同斜坡各流况时的消能率最大可达到 90% 以上。对  $\theta=5.7^\circ, 19^\circ$  和  $30^\circ$  的试验结果分别进行曲线拟合, 结果如式(4), (5), (6) 所示。

(1) 当  $\theta=5.7^\circ, y_c/h=2.5$  时

$$\frac{\Delta H_1}{H_{\max}} = \frac{H_{\text{dam}}/y_c}{3.244355 + 0.979865H_{\text{dam}}/y_c} \quad (4)$$

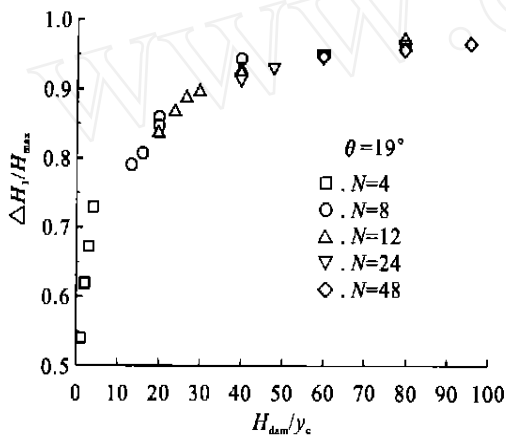
(2) 当  $\theta=19^\circ, y_c/h=2.5$  时

$$\frac{\Delta H_1}{H_{\max}} = \frac{H_{\text{dam}}/y_c}{4.170425 + 0.9832456H_{\text{dam}}/y_c} \quad (5)$$

(3) 当  $\theta=30^\circ, y_c/h=2.5$  时

$$\frac{\Delta H_1}{H_{\max}} = \frac{H_{\text{dam}}/y_c}{4.959454 + 0.981809H_{\text{dam}}/y_c} \quad (6)$$

误差分析表明, 式(4), (5), (6) 与试验结果的相关系数分别为:  $R_{5.7}=0.98904$ ,  $R_{19}=0.99285$ ,  $R_{30}=0.98061$ ; 残差平方和分别为:  $Q_{5.7}=0.00395$ ,  $Q_{19}=0.00951$ ,  $Q_{30}=0.02315$ ; 剩余标准差分别为:  $S_{5.7}=0.01188$ ,  $S_{19}=0.01104$ ,  $S_{30}=0.02110$ 。



若进一步将式(4), (5), (6) 综合考虑, 可得到一个统一的经验公式(7):

$$\theta = 30^\circ, y_c/h = 2.5$$

$$\frac{\Delta H_1}{H_{\max}} = \frac{H_{\text{dam}}}{ay_c + 0.9816399H_{\text{dam}}} \quad (7)$$

$$a = 0.07054750 + 2.838429 \quad (7)$$

分析表明, 式(7)与式(4), (5), (6)的绝对误差分别小于 1.68%, 0.02% 和 0.2%。

## 2.5 过渡水流、跌落水流消能率与台阶个数 $N$ 的关系

在过渡水流和跌落水流流况时, 变化其斜坡角度、台阶高度及来流量, 对台阶式溢洪道的消能特性进行对比试验。结果表明, 当斜坡角度  $\theta=30^\circ$  时, 在过渡水流、跌落水流状态下, 台阶式溢洪道的堰上临界水深不再成为影响台阶掺气的主要因素。这说明当堰上水深较小时, 各台阶上的掺气都比较稳定和充分。由图 5 可见, 当坡度一定、坝高相同时, 消能率不受台阶个数的影响, 增加相对坝高, 消能率增大; 当  $H_{\text{dam}}/y_c > 60$  时, 消能率增大的趋势变得很缓慢。

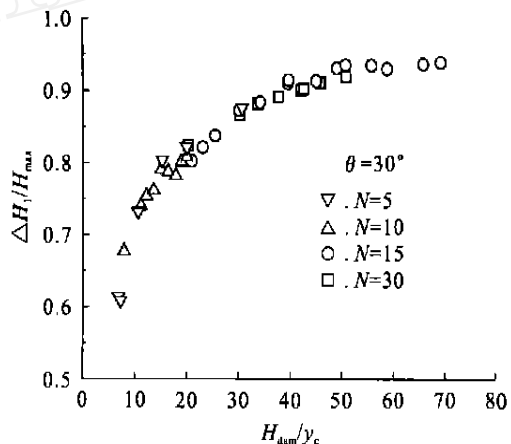


图 5 消能率与台阶个数的关系

Fig. 5 Relation of energy dissipation ratio and step number

## 3 结 论

本试验结果表明, 当斜坡角度  $\theta=30^\circ$  堤上相对临界水深  $y_c/h=2.5$  时, 堤上临界水深对消能率的影响较小; 滑行水流、过渡水流和跌落水流的消能率随相对坝高增加而增大, 随斜坡角度增大而减小, 在试验条件范围内, 不同斜坡各流况时的消能率最大可达到 90% 以上, 且随坝高增加, 3 种坡度的消能率

差别逐渐减小, 这与 Matoos<sup>[4]</sup>的结论一致。另外, 文中还给出了计算消能率的经验公式, 3 种流况的消能机理虽有所区别, 但它们之间的消能率差别甚小; 当坝坡相同、坝高相等时, 台阶的数量不影响其消能率的大小。

本次试验的台阶坡度仅限于小于  $30^\circ$  的情况, 还未触及台阶式溢流坝的消能等问题, 今后需进一步扩大研究的范围及内容。

### [参考文献]

- [1] Chanson H. Hydraulics of stepped spillways: current status[J]. Journal of Hydraulic Engineering, ASCE, 2000, 9: 636- 637.
- [2] 陈群, 戴光清. 鱼背山水库岸边阶梯溢洪道流场的三维数值模拟[J]. 水力发电学报, 2002, (3): 62- 71.
- [3] Chamani M R, Rajaratnam N. Discussion about jet flow on stepped spillways[J]. Journal of Hydraulic Engineering, ASCE, 1995, 5: 446- 448.
- [4] Matos J, Quintela A. Discussion about jet flow on stepped spillways[J]. Journal of Hydraulic Engineering, ASCE, 1995, 5: 443- 444.
- [5] Rao P V, Rao P L N. Discussion about jet flow on stepped spillways[J]. Journal of Hydraulic Engineering, ASCE, 1995, 5: 444- 445.
- [6] Chanson H. Discussion about jet flow on stepped spillways[J]. Journal of Hydraulic Engineering, ASCE, 1995, 5: 441- 442.
- [7] Yasuda Y, Takahashi M, Ohtsu I. Energy dissipation of skimming flows on stepped chute[A]. Chinese Hydraulic Engineering Society. 29th IAHR Congress Proceedings[C]. Beijing: Tsinghua University Press, 2001. 531- 536.

## The dissipation characteristics on stepped spillways of different slopes

TIAN Jian-ning<sup>1</sup>, LI Jian-zhong<sup>1</sup>, Ohtsu Iwao<sup>2</sup>, YELIN<sup>1</sup>, Yasuda Yoichi<sup>2</sup>

(1 Institute of Water Resources and Hydropower Engineering, Xi'an University of Technology, Xi'an, Shaanxi 710048, China;

2 College of Science and Technology, Nihon University, Tokyo 101-8308, Japan)

**Abstract:** The model experiment on stepped spillway with three different slopes ( $5^{\circ}$ ,  $7^{\circ}$ ,  $19^{\circ}$  and  $30^{\circ}$ ) shows that energy dissipation ratio under skimming flow, transition flow or nappe flow, would not be confined by the relative critical water depth on weir ( $y_c/h = 2/5$ ), and it is only the function of relative dam height ( $H_{\text{dam}}/y_c$ ) and angle of slope. Energy dissipation ratio increases while slope grading down or  $H_{\text{dam}}/y_c$  rising. When  $H_{\text{dam}}/y_c$  is certain, the difference of energy dissipation ratio under skimming flow, transition flow and nappe flow is insignificant and the number of steps does not affect the energy dissipation ratio; In addition, this paper offers the experiential formula to calculate the energy dissipation ratio.

**Key words:** stepped spillways; dissipation characteristics; skimming flow; transition flow; nappe flow

(上接第118页)

## Synthesis of 6-methyl-1-substituted phenyl-1,4-dihydro-4-oxo-pyridazine-3-carboxylic acids

MA Yang-min, SHI Qing-hua

(College of Forestry, Northwest Sci-Tech University of Agriculture and Forestry, Yangling, Shaanxi 712100, China)

**Abstract:** 5 new pyridazinone compounds, together with 3 known pyridazinone compounds were synthesized through coupling and rearrangement reactions from substituted phenyl diazonium salts and 4-hydroxy-6-methyl-2-pyrone which were prepared from malonic acid and acetone via 4 steps. The structures of 8 compounds were determined by elemental analysis, IR, and <sup>1</sup>H-NMR.

**Key words:** pyridazinone; coupling reaction; structure characterization